

云南水牛 mtDNA D – loop 遗传多样性研究

亏开兴¹, 金显栋¹, 张继才¹, 尹以昌², 李红伟³,
和嘉荣⁴, 和占星², 罗再仁⁵, 雷初朝⁶, 黄必志^{1*}

(1. 云南省草地动物科学研究院, 昆明 650212; 2. 德宏州畜牧站, 云南 德宏 678400;
3. 红河州畜牧技术推广站, 云南 蒙自 661100; 4. 云南省种畜繁育推广中心, 昆明 650212;
5. 盈江县农业农村局, 云南 盈江 679300; 6. 西北农林科技大学动物科技学院, 陕西 杨凌 712100)

摘要:[目的] 探究云南3个水牛品种(德宏水牛、滇东南水牛、盐津水牛)的mtDNA D – loop区的遗传多样性与母系起源。[方法]采用PCR扩增、测序及生物信息学方法。[结果]本研究共分析了215条云南水牛mtDNA D – loop全序列,检测到107个多态位点,定义了86种单倍型。结果表明,云南3个水牛品种的mtDNA遗传多样性非常丰富,其中,滇东南水牛的遗传多样性最高(Hd: 0.946 ± 0.017, Pi: 0.0162 ± 0.0018),盐津水牛的遗传多样性最低(Hd: 0.805 ± 0.063, Pi: 0.0141 ± 0.0031)。系统发育分析结果表明,在3个云南水牛品种中检测到2个主要支系(A和B支系及其亚支系)及1个稀有支系C,其中A支系为主要支系(79.07%),且经历了强烈的群体扩张。[结论]云南3个水牛品种具有丰富的mtDNA遗传多样性,主要有A与B2个母系起源。

关键词:云南水牛; mtDNA D – loop; 遗传多样性

中图分类号:S823.8⁺³

文献标识码:A

文章编号:1001-9111(2020)06-0001-04

水牛是热带、亚热带地区的重要家养动物,能为人类提供肉、奶等,且是水稻种植区的重要役用动物。根据核型、表型等将水牛分为两种类型:江河型水牛($2n = 50$)和沼泽型水牛($2n = 48$)^[1]。几乎所有的中国水牛均为沼泽型水牛。云南省水牛饲养量位居全国第二,主要分布于德宏、西双版纳、昭通、红河、大理、临沧、昆明郊县等地^[2]。德宏水牛、滇东南水牛与盐津水牛是云南省最主要的3个地方品种。在距今约3000年前的“沧源崖画”依稀刻有水牛和水牛角,表明云南水牛文化源远流长。

哺乳动物线粒体DNA(mtDNA)结构简单、遵循母系遗传,且无重组、进化快,被广泛地用于动物的系统发育、演化和遗传多样性等方面的研究中^[3]。线粒体DNA的高变区(mtDNA D – loop),变异速率为其它片段的5~10倍,是研究动物母系遗传的常用分子标记。迄今为止,在水牛上已有大量基于mtDNA D – loop的研究^[4-8]。目前的研究表明,沼泽型水牛可以分为2个主要支系

(A、B及其亚支系)和3个稀有支系(C、D、E)^[6-8]。而云南地区的水牛具有较高的遗传多样性,且位于沼泽型水牛的驯化中心^[6-8]。亏开兴等通过对29条滇东南水牛mtDNA D – loop序列进行分析,将滇东南水牛分为A、B两个支系^[9];张自芳等通过对35条滇东南水牛mtDNA D – loop序列的进一步分析,也检测到A、B两个支系,且在B支系中检测到了两个亚支系(B1和B2)^[10]。本研究通过对3个云南水牛品种(德宏水牛、滇东南水牛与盐津水牛)的mtDNA D – loop全序列进行分析,以探讨云南水牛的遗传多样性及母系起源,对促进云南水牛的种质资源保存和持续利用具有重要意义。

1 材料与方法

1.1 水牛样品信息

从红河州蒙自县采集29头滇东南水牛血样,从德宏州采集32头德宏水牛血样,颈静脉血3~5mL,肝素钠抗凝,低温运回实验室,–20℃保存备

收稿日期:2020-08-18 修回日期:2020-09-20

基金项目:云南省中青年学术和技术带头人后备人才培养对象(2018HB045);云南省应用基础研究面上项目(2007C130M);国家肉牛牦牛产业技术体系项目(CARS-37)。

作者简介:亏开兴(1975—),男,研究员,博士,主要从事动物遗传育种研究。

*通讯作者:黄必志(1964—),男,研究员,博士生导师,主要从事山地畜牧业研究。

用。按常规酚/氯仿法提取水牛的总 DNA, 稀释至 20 ng/ μ L。此外, 从已发表的论文中获取 154 个云南水牛 mtDNA D - loop 数据(德宏水牛 71 个, 滇东南水牛 54 个和盐津水牛 29 个)^[7,8]。

1.2 水牛 mtDNA D - loop 区的引物、PCR 扩增与序列测定

水牛 mtDNA D - loop 区 PCR 引物参照 Kierstein 等^[11]发表的文献, 正向引物 L15617: 5' - TAGT-GCTAATACCAACGGCC - 3', 反向引物 H399: AG-GCATTTCAGTGCCTTGC - 3', 测序内引物 1 为: 5' - CCATCAACACACCTGACC - 3', 测序内引物 2 为: 5' - CCATGCTCACACATAACTGTGC - 3'。PCR 扩增反应: 94 °C 预变性 4 min, 然后 94 °C 变性 1 min, 56 °C 退火 1 min, 72 °C 延伸 1 min, 36 个循环; 72 °C 后延伸 7 ~ 10 min。利用正反链双向测序, 并用两个内引物进行重叠测序, 以获得水牛完整 mtDNA D - loop 区序列, 测序由上海生工生物技术有限公司完成。

1.3 数据分析

序列由 DNASTar 5.0 软件包 Seqman 人工校对。利用 DnaSP 5.0 软件计算单倍型多样性、核苷酸多样性、平均核苷酸差异数。利用 IQ - tree 构建 ML 系统发育树。

2 结果与分析

2.1 水牛 mtDNA D - loop 长度变异及其序列特征组成

分析发现 215 条云南水牛 mtDNA D - loop 全序

表 1 云南 3 个水牛品种的 mtDNA 遗传多样性参数

水牛品种	个体数	单倍型数	单倍型多样性(Hd)	核苷酸多样性(Pi)	平均核苷酸差异数(k)
德宏水牛	103	48	0.907 ± 0.023	0.0141 ± 0.0017	12.60
滇东南水牛	83	46	0.946 ± 0.017	0.0162 ± 0.0018	14.58
盐津水牛	29	10	0.805 ± 0.063	0.0141 ± 0.0031	12.66
总计	215	86	0.894 ± 0.019	0.0148 ± 0.0012	13.20

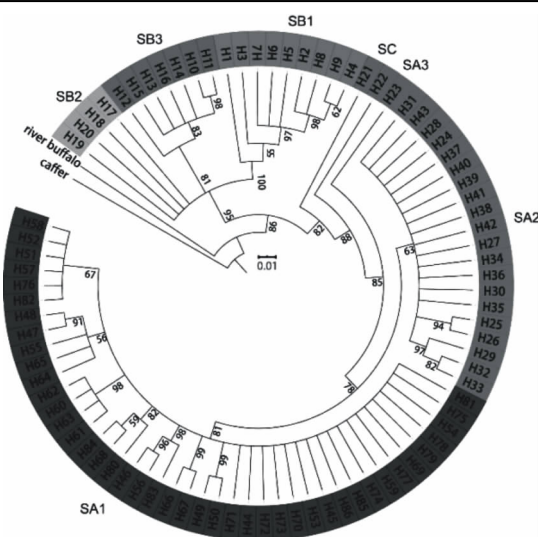


图 1 云南 3 个水牛品种的 ML 系统发育树

列长度为 900 ~ 917 bp, 这种长度变化主要是由于水牛 mtDNA D - loop 全序列含有 3 个 Poly G/C/T(7 ~ 10 个重复)插入缺失结构导致的。水牛 mtDNA D - loop 全序列由 A、T、G、C 四种碱基组成, 其中 A 碱基含量最高(31.0%), 其次为 T(27.6%) 和 C(26.3%), G 碱基含量最低(15.1%)。A + T 的平均含量为 58.6%, G + C 的平均含量为 41.4%, A + T 的平均含量明显高于 G + C, 表现出碱基的偏好性。

2.2 云南水牛的 mtDNA 遗传多样性

对这 215 头水牛 mtDNA D - loop 全序列进行比对, 共检测到 107 个变异位点, 定义了 86 种单倍型。分析结果表明, 这 3 个云南水牛品种的 mtDNA 遗传多样性非常丰富(表 1)。其中, 德宏水牛、滇东南水牛和盐津水牛的单倍型多样性(Hd)分别为 0.907 ± 0.023、0.946 ± 0.017 和 0.805 ± 0.063, 核苷酸多样性(Pi)分别为 0.0141 ± 0.0017、0.0162 ± 0.0018 和 0.0141 ± 0.0031, 平均核苷酸差异数(k)分别为 12.60、14.58 和 12.66。相比于德宏水牛和滇东南水牛, 盐津水牛的遗传多样性较低。

2.3 云南水牛 mtDNA D - loop 系统发育分析

以非洲水牛为外群, 利用 IQ - tree 构建云南水牛 ML 树。ML 系统发育树的结果表明, 在 3 个云南水牛品种中存在 A 和 B 两个主要支系, 以及稀有支系 C(图 1)。其中, A 支系又可以细分为 A1、A2 与 A3 亚支系, B 支系可细分为 B1、B2 与 B3 亚支系。

2.4 网络分析

构建了云南 3 个水牛品种的网络关系图(图 2), 从图 2 可以看出, 215 头水牛可分为 2 个主要支系(A 支系和 B 支系)和稀有支系 C(仅在 1 头德宏水牛中检测到), 此结果与 ML 系统发育树得到的结果一致。其中, A 支系又可以分为 A1、A2 与 A3 亚支系, B 支系可分为 B1、B2 与 B3 亚支系, 且 A1 与 A2 亚支系形成明显的星形结构, 说明沼泽型水牛 A 支系在驯化传播过程中经历了强烈的群体扩张。在这 215 个个体中, A 支系为主要支系, 占 79.07%, B 支系仅占 20.47%。

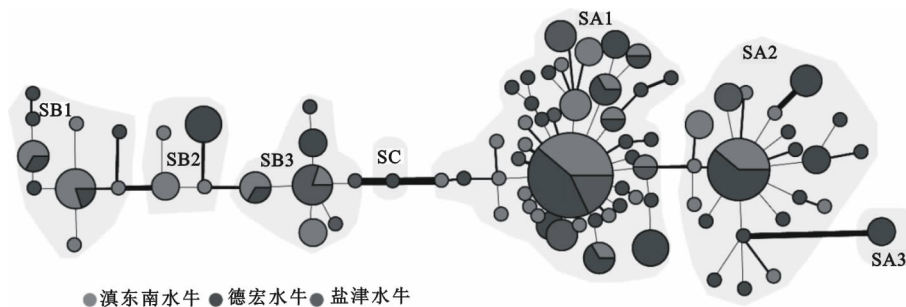


图2 云南3个水牛品种的mtDNA D-loop网络结构

3 讨 论

研究共分析了215头云南水牛的mtDNA D-loop序列(900~917 bp),包括103头德宏水牛、83头滇东南水牛、29头盐津水牛,其碱基含量分为:A(31.0%)、T(27.6%)、C(26.3%)和G(15.1%),呈现明显的碱基偏好性,这与脊椎动物的特征一致^[12]。此外,A+T的含量明显高于G+C,这与其他物种的研究结果一致,说明物种之间的mtDNA D-loop含量相似^[13,14]。

单倍型多样度(Hd)和核苷酸多样度(Pi)常用来衡量一个群体mtDNA的变异程度。本研究结果表明,在这3个云南水牛品种中,滇东南水牛的遗传多样性最高(Hd:0.946±0.017,Pi:0.0162±0.0018),盐津水牛的遗传多样最低(Hd:0.805±0.063,Pi:0.0141±0.0031),这与之前的研究结果相似^[8]。盐津水牛较低的遗传多样性,可能与检测的样本数较少有关。总的来说,与中国其他地区的水牛相比,云南地方水牛呈现出较高的遗传多样性^[7,8]。越来越多的研究表明,沼泽型水牛可能在中国西南与东南亚交接地区被驯化,而云南水牛如此高的遗传多样性也印证了这一观点^[7,15-17]。

沼泽型水牛分为2个主要支系(A和B支系)及3个稀有支系(C、D、E)^[10-13]。本研究结果表明,云南3个水牛品种存在A(A1,A2,A3)和B(B1,B2,B3)2大支系及稀有支系C,未检测到稀有支系D和E。其中,A支系为主要支系,占79.07%,这和发表的研究结果一致^[7,18-20]。此外,网络图的结果表明,A支系呈现明显的星形结构,说明沼泽型水牛A支系在驯化传播过程中经历了强烈的群体扩张。

参考文献:

- [1] FISCHER H, ULRICH F. Chromosomes of the Murrah buffalo and its crossbreds with the Asiatic swamp buffalo (*Bubalus bubalis*) [J]. Zeitschrift für Tierzüchtung und Züchtungsbiologie, 1967, 84(1/4): 110-114.
- [2] 王春兰,李红伟,李乔仙,等. 云南水牛的遗传多样性研究进展 [J]. 中国草食动物科学, 2015, 35(6): 49-51.
- [3] IRWIN D M, KOCHER T D, WILSON A C. Evolution of the cytochrome b gene of mammals[J]. Journal of Molecular Evolution, 1991, 32(2): 128-144.
- [4] 张桂香,王志刚,樊睿,等. 我国水牛地方品种线粒体D-loop区遗传变异与起源分化[J]. 生物技术通报, 2009(4): 107-111.
- [5] 谢文美,苏锐,张晓明,等. 中国水牛mtDNA D-loop区遗传多样性与母系起源[J]. 中国牛业科学, 2009, 35(5): 3-7.
- [6] WANG S Q, CHEN N B, CAPODIFERRO M R, et al. Whole mitogenomes reveal the history of swamp buffalo: initially shaped by glacial periods and eventually modeled by domestication[J]. Scientific Reports, 2017, 7(1): 4708.
- [7] ZANG Y, LU Y, YINDEE M, et al. Strong and stable geographic differentiation of swamp buffalo maternal and paternal lineages indicates domestication in the China/Indochina border region [J]. Molecular Ecology, 2016, 25(7): 1530-1550.
- [8] SUN T, WANG S Q, CHANTHAKHOUN V, et al. Multiple domestication of swamp buffalo in China and South East Asia[J]. Journal of Animal Breeding and Genetics, 2020, 137(3): 331-340.
- [9] 亏开兴,和占星,苗永旺,等. 滇东南水牛mtDNA控制区遗传多样性及其系统地位分析[J]. 西北农林科技大学学报(自然科学版), 2011, 39(9): 73-80.
- [10] 张自芳,刘丽仙,钱林东,等. 滇东南水牛线粒体DNA控制区遗传多样性分析[J]. 云南农业大学学报(自然科学版), 2012, 27(1): 49-54.
- [11] KIERSTEIN G, VALLINOTO M, SILVA A, et al. Analysis of mitochondrial D-loop region casts new light on domestic water buffalo (*Bubalus bubalis*) phylogeny[J]. Molecular Phylogenetics and Evolution, 2004, 30(2): 308-324.
- [12] LIN C S, SUN Y L, LIU C Y, et al. Complete nucleotide sequence of pig (*Sus scrofa*) mitochondrial genome and dating evolutionary divergence within Artiodactyla[J]. Gene, 1999, 236(1): 110-114.
- [13] WANG X, MA Y H, CHEN H, et al. Genetic and phylogenetic studies of Chinese native sheep breeds (*Ovis aries*) based on mtDNA D-loop sequences[J]. Small Ruminant Research, 2007, 72(2/3): 232-236.
- [14] LIU R Y, Yang G S, LEI C Z. The genetic diversity of mtDNA D-loop and the origin of Chinese goats[J]. Acta Genetica Sinica, 2006, 33(5): 420-428.

- [15] SUN T, SHEN J F, ACHILLI A, et al. Genomic analyses reveal distinct genetic architectures and selective pressures in buffaloes [J]. *GigaScience*, 2020, 9(2) : giz166.
- [16] SINGH R, KUMAR S L, MISHRA S K, et al. Mitochondrial sequence-based evolutionary analysis of riverine - swamp hybrid buffaloes of India indicates novel maternal differentiation and domestication patterns[J]. *Animal Genetics*, 2020, 51(3) : 476-482.
- [17] COLLI L, MILANESI M, VAJANA E, et al. New insights on water buffalo genomic diversity and post-domestication migration routes from medium density SNP chip data[J]. *Frontiers in Genetics*, 2018, 9(3) : 53.
- [18] LEI C Z, ZHANG W, CHEN H, et al. Independent maternal origin of Chinese swamp buffalo (*Bubalus bubalis*) [J]. *Animal Genetics*, 2007, 38(2) : 97-102.
- [19] LEI C Z, ZHANG W, CHEN H, et al. Two maternal lineages revealed by mitochondrial DNA D-loop sequences in Chinese native water buffaloes (*Bubalus bubalis*) [J]. *Asian Australasian Journal of Animal Sciences*, 2007, 20(4) : 471-476.
- [20] YUE X P, LI R, XIE W M, et al. Phylogeography and domestication of Chinese swamp buffalo[J]. *PLoS One*, 2013, 8(2) : e56552.

Genetic Diversity of mtDNA D-loop Region in Yunnan Buffaloes

QU Kai-xing¹, JIN Xian-dong¹, ZHANG Ji-cai¹, YIN Yi-chang², LI Hong-wei³, HE Jia-rong⁴, HE Zhan-xing², LUO Zai-ren⁵, LEI Chu-zhao⁶, HUANG Bi-zhi^{1*}

(1. Yunnan Academy of Grassland and Animal Science, Kunming, Yunnan 650212; 2. Animal Husbandry Station of Dehong Prefecture, Dehong, Yunnan 678400; 3. Animal Husbandry Technology Promotion Station of Honghe Prefecture, Mengzi, Yunnan 661100; 4. Yunnan Breeding Stock and Breeding Promotion Center, Kunming, Yunnan 650212; 5. Bureau of Agriculture and Rural Affairs of Yingjiang, Yingjiang, Yunnan, 679300; 6. College of Animal Science and Technology, Northwest A&F University, Yangling, Shaanxi 712100)

Abstract: [Objective] The aim of the study was to explore the genetic diversity of mtDNA D – loop region of three Yunnan buffalo breeds. [Method] The complete mitochondrial DNA (mtDNA) D – loop regions of 215 buffaloes were analyzed using PCR , sequencing and bioinformatics methods. [Result] A total of 107 polymorphic sites were detected, which defined 86 haplotypes. Among the three buffalo breeds, Diandongnan buffalo breed showed the highest genetic diversity (Hd: 0.946 ± 0.017 , Pi: 0.01620 ± 0.00179), while Yanjin buffalo showed the lowest genetic diversity. The phylogenetic analysis results showed that two main lineages (A and B with their sub – lineages) and one rare lineage (C) were detected in Yunnan buffaloes. The lineage A was extremely frequent in Yunnan buffaloes, and experienced a strong population expansion. [Conclusion] The genetic diversity of these three Yunnan buffalo breeds were abundant, and mainly originated from two lineage A and B of swamp buffalo.

Key words: Yunnan buffalo; mtDNA D-loop; genetic diversity